

Δελτ. Ελλ. Γεωλ. Εταιρ.	Τομ. XVIII Vol.	σελ. 143-159 pag.	Αθήνα 1986 Athens
Bull Geol. Soc. Greece			

ΑΣΒΕΣΤΟΛΙΘΙΚΑ ΝΑΝΝΟΑΠΟΛΙΘΩΜΑΤΑ ΑΠΟ ΤΟ ΚΑΙΝΟΖΩΙΚΟ ΤΩΝ ΝΗΣΩΝ ΠΑΞΩΝ ΚΑΙ ΖΑΚΥΝΘΟΥ

ΔΗΜΗΤΡΗΣ ΦΡΥΔΑΣ*

ΣΥΝΟΨΗ

Από διάφορα προφίλ του Καινοζωϊκού στα νησιά Παξοί και Ζάκυνθος ερευνήθηκαν αυτόχθονα ασβεστολιθικά ναννοαπολιθώματα. Σύμφωνα με τους Δισκοαστέρες και τα συνοδεύοντα στοιχεία της ναννοχλωρίδας τα προφίλ αυτά συγκρίνονται με τις στάνταρ βιοζώνες NP15, NP16, NN6, NN9, NN10, NN14, NN17 και NN18 (MARTINI 1971) κατά τη διάρκεια του Ηώκαινου, Μειόκαινου και Πλειόκαινου. Η ναννοχλωρίδα αυτή —των σε παγκόσμια κλίμακα γνωστών βιοζωνών— δύναται επίσης να συγκριθεί και να συνταυτίστεται με τις αντίστοιχες βιο— και υποβιοζώνες του Ατλαντικού και του Ειρηνικού ακεανού (BUKRY, 1978, Deep Sea Drilling Project - DSDP).

Τα αλλόχθονα ασβεστολιθικά ναννοαπολιθώματα που προσδιορίστηκαν στο Πλειόκαινο της Ζακύνθου προέρχονται από επαναποθέσεις του Κατώτερου Ηώκαινου (βιοζώνες NP12, NP13).

ABSTRACT

Autochthonous calcareous nannofossils were studied from different sections of Cenozoic age in the Ionian islands Paxi and Zakynthos at W. Greece. According to Discoasterids and the accompanying flora elements the localities can be correlated with standard nannoplankton - zones NP15, NP16, NN6, NN9, NN10, NN14, NN7 and NN18 of MARTINI (1971) during the Eocene, Miocene and Pliocene. The flora of this worldwide known zones can easily be compared and identified with those known from Atlantic and Pacific Deep Drilling Sites (BUKRY, 1978).

Allochthonous calcareous nanofossils are reported in Pliocene layers of Zakynthos. These reworked nannofossils seem to belong the standard nannoplankton Zones NP12 and NP13 (Early Eocene).

DIMITRIS FRYDAS*. — Calcareous nannofossils from the Cenozoic of the islands Paxi and Zakynthos (W. Greece)

* Λέκτορας Dr. Δημήτρης Φρυδάς - Πανεπιστήμιο Πατρών - Τμήμα Γεωλογίας - Τομέας Γενικής, Εφαρμοσμένης & Θαλάσσιας Γεωλογίας.

* Lecturer Dr. Dimitris Frydas - University of Patras - Department of Geology - Section for Physical, Engineering and Marine Geology.

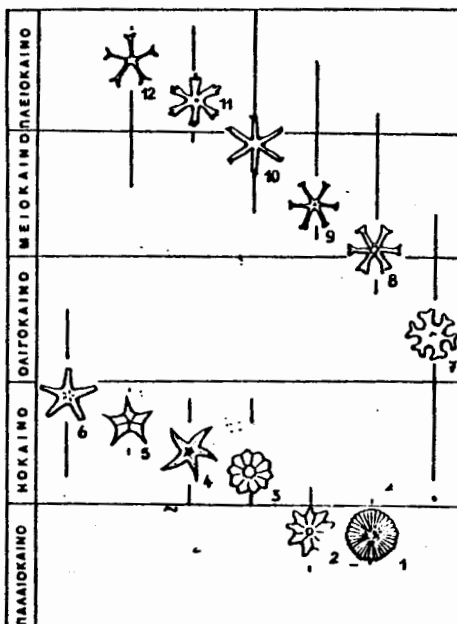
Ανακοινώθηκε 27.1.84.

1. Εισαγωγή

Η ραγδαία εξέλιξη που έχει λάβει τα τελευταία χρόνια η έρευνα με τα ασβεστολιθικά ναννοαπολιθώματα για τη βιοστρωματογραφία του Τριτογενούς υπήρξε η αφορμή να μελετηθεί η πιθανότητα της εφαρμογής τους και στον Ελλαδικό χώρο.

Από τριτογενείς εναποθέσεις της Κούβας έγιναν οι πρώτες εργασίες με περιεχόμενο ασβεστολιθικά ναννοαπολιθώματα (BRONNIMANN & STRADNER, 1960). Κατόπιν έγιναν παρόμοιες εργασίες σ' ολόκληρο τον κόσμο BRAMLETTE & WILCOXON, 1967, HAY & MOHLER 1967, MARTINI 1971, BUKRY 1973-1978. Η στρωματογραφική όμως αξία των ναννοαπολιθωμάτων φαίνεται ιδιαίτερα από την αρχή του ερευνητικού προγράμματος Deep Sea Drilling Project (DSDP) από τις Ήνωμένες Πολιτείες. Ελάχιστη ποσότητα από τον πυρήνα των γεωτρήσεων του ωκεανογραφικού πλοίου «GLOMAR CHALLENGER» είναι αρκετή για τον προσδιορισμό των διαφόρων βιοζωνών. Η κάθε βιοζώνη ορίζεται με την εμφάνιση σε παγκόσμια κλίμακα ενός νέου ειδούς παρά με την εξαφάνισή του, που λόγω επαναποθέσεων παρουσιάζει δυσκολίες. Κατ' αυτό τον τρόπο χωρίστηκε το Παλαιογενές σε 25 Ναννοβιοζώνες (NP1 - NP25) και το Νεογενές με το Τεταρτογενές σε 21 Ναννοβιοζώνες (NN1 - NN21), MARTINI (1971).

Στην παρούσα εργασία οι Δισκοαστέρες (Discoasteraceae) παίζουν πρωτεύοντα ρόλο λόγω της εξέλιξης των διαφόρων ειδών που μας παρέχουν χρήσιμα καθοδηγητικά απολιθώματα καθ' όλη τη διάρκεια του Τριτογενούς (Εικ. 1).

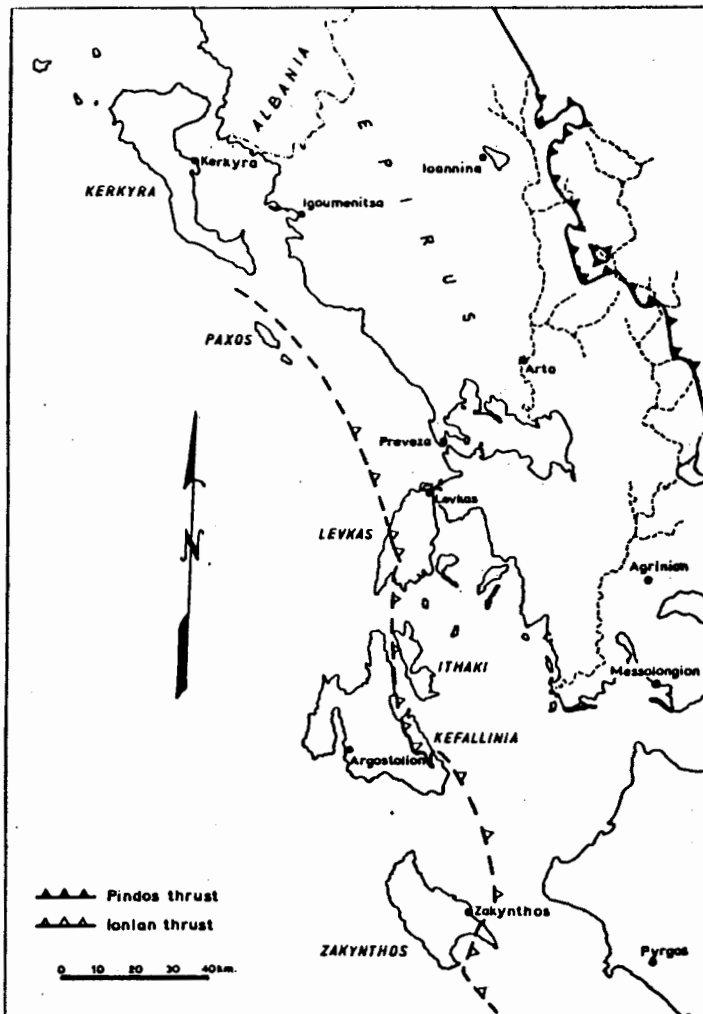


Εικ. 1. Εξάπλωση μερικών ειδών από Discoaster στο Τριτογενές 1. *Discoaster multiradiatus*, 2 *nobilis*, 3. *D. barbadiensis*, 4. *D. lodoensis*, 5. *D. sublodoensis*, 6. *D. tanii*, 7. *D. deflandrei*, 8. *D. variabilis*, 9. *D. challengerii*, 10. *D. brouweri*, 11. *D. surculus*, 12. *D. pentaradiatus*.

Στην εργασία αυτή ερευνήθηκαν δείγματα από τομες του Ήώκαινου των Παξών και του Μειόκαινου και Πλειόκαινου της Ζακύνθου που ανήκουν στην Προαπούλια Ζώνη.

1.1. Γεωλογική ανασκόπηση

Η Προαπούλια ζώνη παρεμβάλλεται ανάμεσα στο υποθαλάσσιο τότε ύβωμα (Τράπεζα) της Απούλιας και στην επίσης υποθαλάσσια τότε Ιόνια Αύλακα και κατέχει το εσωτερικό περιθώριο της πρώτης. Η ονοματοθεσία οφείλεται στον J. AUBOUIIN (1957). Παλιότερα ονομαζόταν ζώνη Παξών (RENZ, 1940). Απαντιέται στους Παξούς, Αντίπαξους, Λευκάδα, Κεφαλλονιά και Ζάκυνθο. Εικ. 2.



Εικ. 2. Σχηματικός χάρτης της Β.Δ. Ελλάδας (κατά BIZON, 1967 και de MULDER, 1975).

Η Προαπούλια ζώνη αντιπροσωπεύεται από ανωκρητιδικούς νηριτικούς και υφαλογόνους (με Ippovurίτες) ασβεστολιθίους. Ιδιαίτερα το Μαιστρίχτιο περιλαμβάνει ένα χαρακτηριστικό οριζόντια με Orbitoides. Το Ηώκαινο, Ολιγόκαινο και Κατώτερο Μειόκαινο αντιπροσωπεύεται από νηριτικούς ασβεστολιθίους που έχουν τα χαρακτηριστικά (τη φάση) εκείνων της Απούλιας ζώνης και που εναλλάσσονται με μικρολατυποπαγείς ασβεστολιθίους.

Στους τελευταίους παρεμβάλλονται πελαγικοί ασβεστολιθοί της φάσης της Ιόνιας ζώνης. Όλοι αυτοί οι ασβεστολιθοί είναι πλούσιοι σε μεγάλα Τρηματοφόρα.

Από παλαιογεωγραφική άποψη ο χώρος στον οποίο είναι εξαπλωμένα τα ιζήματα της Προαπούλιας ζώνης αποτελούσε ένα υποθαλάσσιο ύβωμα. Με το γεγονός αυτό συνδέεται η απουσία από την εν λόγω ζώνη αποθέσεων του φλύσχη.

Από τεκτονική άποψη η παραπάνω ζώνη είναι αυτόχθονη με εύθραυστη ή αλλιώς βαριά τεκτονική, που χαρακτηρίζεται από ανοιχτά και διαρρηγμένα αντίκλινα. Η ανάδυση της ζώνης αυτής συντελέστηκε κατά το Ελβετιό, με την εκδήλωση της Νεώτερης Στυριακής πτύχωσης. Τέλος στην περιοχή της ζώνης δεν έχει εκδηλωθεί μαγματική δραστηριότητα (ΧΡΙΣΤΟΔΟΥΛΟΥ, 1982).

2. Ναννοαπολιθώματα

Ο τόπος προελεύσεως (Locus typicus), η περιγραφή και η ταξονομία των Γενών και Ειδών από τα ασβεστολιθικά ναννοαπολιθώματα αναφέρεται λεπτομερώς στους καταλόγους των LOEBLICH, A. R., J. και TAPPAN H. (1966-1973) «Annotated Index and Bibliography of the Calcareous Nannoplankton» και FARINACCI A. (1969-1978) «Catalogue of Calcareous Nannofossils, Vol. 1-9». Τα δείγματα που ερευνήθηκαν για ναννοαπολιθώματα προέρχονται από τα νησιά Παξοί και Ζάκυνθο.

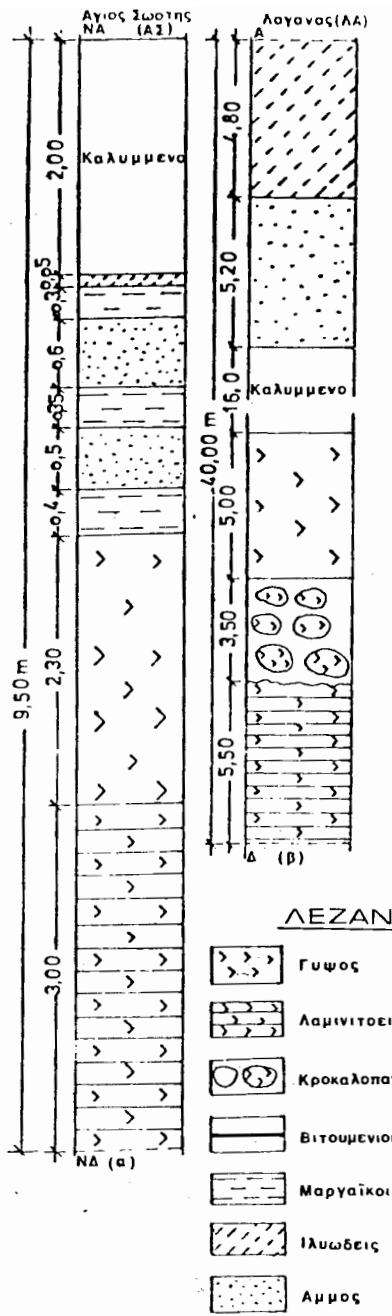
2.1. Παξοί

2.1.1. Λάκκα

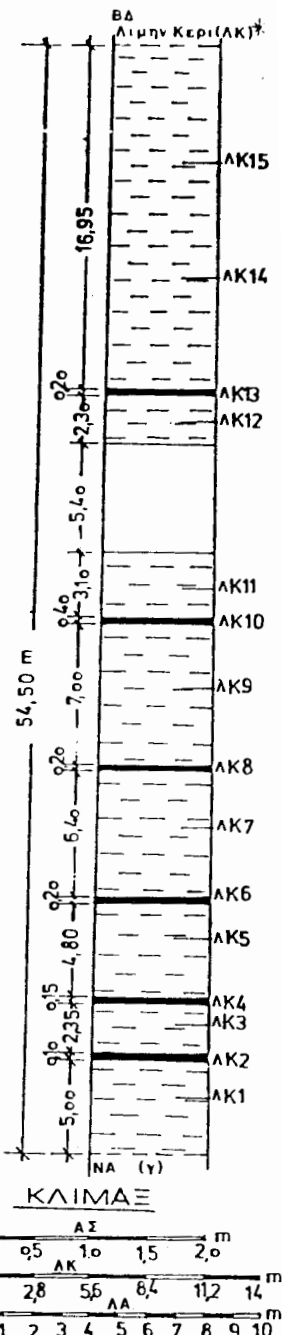
Από το βόρειο τμήμα του νησιού στο ακρωτήρι Λάκκα ελήφθησαν δείγματα από ένα προφίλ πάχους 60-70 μ. που αποτελείται από μικροκοκκώδεις, πλακώδεις ασβεστολιθίους που περικλείουν στρώσεις από κυανόχροες μαργαϊκές άργιλους. Από τα δείγματα ΠΑ 1 έως ΠΑ 3 των μαργαϊκών αργιλών στο κατώτερο μέρος του προφίλ προέκυψαν τα ακόλουθα ασβεστολιθικά ναννοαπολιθώματα:

- * **Chiasmolithus grandis** (BRAMLETTE & RIEDEL)
- Cyclococcolithina formosa** (KAMPTNER)
- Discoaster barbadiensis** TAN SIN HOK
- Discoaster deflandrei** BRAMLETTE & RIEDEL
- Discoaster gemmifer**, STRADNER
- * **Discoaster sublodoensis** BRAMLETTE & SULLIVAN

* Χαρακτηριστικά ναννοαπολιθώματα βιοζωνών.



EIK. 3



*(*ΔΕΡΜΙΤΖΑΚΗΣ, 1977*)

Discoaster trinus STRADNER

Discoaster sp.

*** Discoasteroides kuepperi (STRADNER)**

Σύμφωνα με τα ανωτέρω ναννοαπολιθώματα τα δείγματα ΠΑ1 έως ΠΑ3 τοποθετούνται στην NP15 = **Chiasmolithus gigas**, υποβιοζώνη (Ανώτερο Μέσο Ήώκαινο).

Στο ανώτερο μέρος του προφίλ —κοντά στο φάρο του ακρωτηρίου Λάκκα— από τα δείγματα ΠΑ4 έως ΠΑ6 προσδιορίστηκαν τα ακόλουθα ναννοαπολιθώματα:

Braarudosphaera bigelowii (GRAN & BRAARUD)

Ciasmolithus grandis (BRAMLETT & RIEDEL)

Chiasmolithus solitus (BRAMLETT & SULLIVAN)

Cyclococcolithina formosa (KAMPTNER)

Discoaster barbadiensis TAN SIK HOK

Discoaster colleti (PAREJAS) BERSIER

*** Discoaster crassus MARTINI**

Discoaster deflandrei BRAMLETT & RIEDEL

*** Discoaster distinctus MARTINI**

Discoaster gemmifer STRADNER

Discoaster trinus STRADNER

Discoaster sp.

2.2. Ζάκυνθος

Από το νέο νότιο τμήμα της νήσου Ζακύνθου που ανήκει στην Προαπούλια ζώνη ερευνήθηκαν διάφορα προφίλ από τις περιοχές λιμάνι Ζακύνθου, Λαγανάς, Αγιος Σώστης Λιμήν Κερι, Μαχαιράδο και Ρομίρι για ναννοαπολιθώματα.

2.2.1. Λιμήν Κερι

Από τα στρώματα των μαργαϊκών αργιλών πάχους 50-60 μ. που είναι εκτεθειμένα κατά μήκος της νοτιοδυτικής ακτής του μικρού λιμανιού στο χωρίο Λιμήν Κερι ελήφθησαν τα δείγματα ΛΚ1 έως ΛΚ15.

Το προφίλ αποτελείται από μια ακολουθία στρωμάτων του Νεογενούς και περιλαμβάνει κυανόφαιες έως πρασινόφαιες μαργαϊκές αργιλους, στις οποίες περικλείνονται ενδιαστρώσεις μελανού χρώματος, λαμινοειδούς βιτουμενιούχου υλικού πάχους 10 έως 30 εκατοστά με έντονη οσμή πισσασφάλτου. Η ακολουθία των στρωμάτων παρουσιάζει κλίση 20° BA.

Η τομή του λιμένα Κερι χαρακτηρίζει την Ν16 = **Neogloboquadrina aco-staensis** βιοζώνη των πλαγκτονικών τρηματοφόρων (ΔΕΡΜΙΤΖΑΚΗΣ, 1977, Σ. 99).

Από τα δείγματα ΛΚ1 έως ΛΚ15 —αρχιζοντας από τα ΝΑ του προφίλ— προέκυψε μια πλούσια σε ειδη ναννοχλωρίδα διατηρημένη σε πολὺ καλή κατάσταση. Προσδιορίστηκαν τα εξής ειδη:

Braarudosphaera bigelowii (GRAN & BRAARUD)

- * *Catinaster coalitus* MARTINI & BRAMLETT
Coccolithus miopelagicus BUKRY
Coccolithus pelagicus (WALLICH)
Coronocyclus nitescens (KAMPTNER)
Discoaster brouweri rutellus GARTNER
- * *Discoaster calcaris* GARTNER
Discoaster calculosus BUKRY
Discoaster challengerii mediterraneus CATI & BORSETTI
Discoaster dilatus HAY
Discoaster druggii BRAMLETT & WILCOXON
Discoaster exilis MARTINI & BRAMLETT
- * *Discoaster hamatus* MARTINI & BRAMLETT
Discoaster lidzii HAY
Discoaster nephados HAY
Discoaster pansus (BUKRY & PERCIVAL)
Discoaster pentaradiatus TAN SIN HOK
Discoaster pseudovariabilis MARTINI & WORSLEY
- * *Discoaster quinqueramus* GARTNER
Discoaster trinidadensis HAY
- * *Discoaster variabilis* MARTINI & BRAMLETT
Helicosphaera carteri KAMPTNER
Lithostromation perdurum DEFLANDRE
Pontosphaera multipora KAMPTNER
Reticulofenestra hesslandii (HAQ)
Scyphosphaera apsteini LOHMANN
Scyphosphaera pulcherrima DEFLANDRE
- * *Sphenolithus abies* DEFLANDRE

Τα δείγματα ΑΚ1 έως ΑΚ9 χαρακτηρίζουν την ΝΝ9 = *Discoaster hamatus* βιοζώνη. Συχνά απολιθώματα της βιοζώνης αυτής είναι: *Discoaster hamatus*, *D. variabilis*, *D. challengerii* και *D. calcaris*. *Catinaster coalitus* και *Discoaster pseudovariabilis* εμφανίζονται για τελευταία φορά στο ανώτερο τμήμα της βιοζώνης ΝΝ9 (δείγμα ΑΚ9).

Τα δείγματα ΑΚ10 έως ΑΚ15 χαρακτηρίζουν τη ΝΝ10 = *Discoaster neohamatus* βιοζώνη. Η απουσία του είδους *D. hamatus* όπως επίσης η κατά μάζες εμφάνιση του είδους *D. calcaris* και η επίσης για πρώτη φορά εμφάνιση του είδους *D. quinqueramus* χαρακτηρίζουν τη βιοζώνη ΝΝ10.

Sphenolithus abies και *Discoaster quinqueramus* εμφανίζονται για πρώτη φορά στο ανώτερο τμήμα της βιοζώνης ΝΝ10 (δείγμα ΑΚ15). Σύμφωνα με τα ανωτέρω η μετάβαση από το Μέσο στο Ανώτερο Μειόκαινο φαίνεται να αρχίζει από το βιτουμενιούχο στρώμα του δείγματος ΑΚ10.

Τα ναννοαπολιθώματα αυτά χαρακτηρίζουν το ανώτατο μέρος του Μέσου Μειόκαινου — την ΝΠ16 = *Discoaster bifax* υποβιοζώνη.

2.2.2. Μαχαιράδο

Το προφίλ Μαχαιράδο χαρακτηρίζει τις βιοζώνες Ν14, Ν15, Ν16 (ΔΕΡΜΙΤΖΑΚΗΣ, 1977, Σ. 97) των πλαγκτονικών τρηματοφόρων.

Από τις συμπαγείς, κυανόχροες, μαργαϊκές άργιλους που συναντώνται Β. του χωριού Μαχαιράδο προσδιορίστηκαν τα ακόλουθα ασβεστολιθικά ναννοαπολιθώματα (δείγματα ΜΑ1 έως ΜΑ6).

Coccolithus miopelagicus (WALLICH)

Coccolithus pelagicus BUKRY

Coronocyclus nitescens (KAMPTNER)

Cyclococcolithus rotula (KAMPTNER)

* **Discoaster calcaris** GARTNER

Discoaster calculosus BUKRY

Discoaster druggii BRAMLETTE & WILCOXON

Discoaster lidzii HAY

Discoaster stellulus GARTNER

* **Discoaster variabilis** MARTINI & BRAMLETTE

Σύμφωνα με τα ανωτέρω ναννοαπολιθώματα το προφίλ Μαχαιράδο χαρακτηρίζει την NN10 = **Discoaster neohamatus** βιοζώνη (Κατωτ. Ανώτερο Μειόκαινο).

2.2.3. Ρομιρι

Πλησίον του χωριού Ρομιρι ελήφθησαν από σκληρές, κυανόφαιες μαργαϊκές αργιλους τα δείγματα ΡΟ1 έως ΡΟ6. Τα ασβεστολιθικά ναννοαπολιθώματα είναι σπάνια στα δείγματα αυτά και βρίσκονται διατηρημένα σε κακή κατάσταση ή έχουν υποστεί διάβρωση σε σημείο που να έχει αλλοιωθεί το σχήμα τους ή παρουσιάζουν εμφανή διόγκωση του σκελετού των από εναποθέσεις ασβεστίου. Με δυσκολία προσδιορίστηκαν τα ακόλουθα ειδη:

Discoaster adamanteus BRAMLETTE & WILCOXON

Discoaster exilis MARTINI & BRAMLETTE

* **Micrantholithus flos** DEFLANDRE

* **Micrantholithus vesper** DEFLANDRE

Τα ανωτέρω ναννοαπολιθώματα κατατάσσονται στην NN6 = **Discoaster exilis** βιοζώνη.

2.2.4. Άγιος Σώστης

Δυτικά του λιμανιού Άγιος Σώστης όπως και κατά μήκος της παραλίας του Λαγανά συναντώνται εβαποριτικά στρώματα με ορίζοντες λαμινιτικής και αρενητικής γύψου καθώς και κροκαλοπή γύψου χαρακτηριστικά της «κρίσης αλμυρότητας» της Μεσσηνίου βαθμίδας. Υπεράπω των εβαποριτών ακολουθούν με εναλλαγές γκριζόφαια άμμος, μαργαϊκοί και ιλυώδεις άργιλοι. Από τα δείγματα ΑΣ1 έως ΑΣ3 των ιλυωδών αργιλών προσδιορίστηκαν τα ακόλουθα ειδη:

- Discoaster binodosus* MARTINI
Discoaster deflandrei BRAMLETTE & RIEDEL
Discoaster distinctus MARTINI
Discoaster elegans BRAMLETTE & SULLIVAN
* *Discoaster lodoensis* BRAMLETTE & RIEDEL
Discoaster mirus DEFLANDRE
Discoaster multiradiatus BRAMLETTE & RIEDEL
Neococcolithus dubius (DEFLANDRE)
* *Tribrachiatus orthostylus* SHAMPRAI

Τα ναννοαπολιθώματα αυτά χαρακτηρίζουν τις βιοζώνες NP12 = *Tribrachiatus orthostylus* και NP13 = *Discoaster lodoensis* του Κατώτερου Ήώκαινου. Απολιθώματα νεωτέρας ηλικίας δεν ανευρέθησαν στα στρώματα αυτά τα οποία υπέρκεινται των εβαποριτών της Μεσσηνίου βαθμίδας του Μειόκαινου. Πρόκειται μάλλον περὶ χερσογενών αποθέσεων στις οποίες έχουν επαναποθετηθεί ναννοαπολιθώματα από το Κατώτερο Ήώκαινο.

Ακριβώς στο μικρό λιμανάκι του Αγίου Σώστης βρίσκεται ένας μικρός λοφίσκος, απομονωμένος από τη γύρω περιοχή που αποτελείται από στρώματα ασβεστολιθών και ασβεστολιθικών μαργών πάχους περίπου 12 μέτρων (Εικ. 4).



Εικ. 4. Λιμανάκι Αγίου Σώστης. Ακολουθία ασβεστολιθικών πετρωμάτων τού Ανώτερου Πλειόκαινου.

- Από τα δείγματα Λ.ΑΣ1 έως Λ.ΑΣ3 προσδιορίστηκαν τα ακόλουθα είδη:
- Discoaster exilis* MARTINI & BRAMLETTE
 - Discoaster mediterraneus* CATI & BORSETTI
 - * *Discoaster pentaradiatus* TAN SIN HOK
 - Discoaster surculus* MARTINI
 - Discoaster variabilis* MARTINI & BRAMLETTE
 - Pseudoemiliania lacunosa* (KAMPTNER)
 - * *Scyphosphaera aequatorialis* KAMPTNER
 - Scyphosphaera campanula* DEFLANDRE
 - Scyphosphaera intermedia* DEFLANDRE

Τα ναννοαπολιθώματα αυτά χαρακτηρίζουν την NN12/NN13 = *Ceratolithus acutus* υποβιοζώνη (Κατώτατο Πλειόκαινο). Σύμφωνα με τα ανωτέρω τα στρώματα της ασβεστολιθικής αυτής ακολουθίας υπέρκεινται της ακολουθίας των εβαποριτών τα οποία εκτίθενται δυτικά από το λιμανάκι του Αγίου Σώστη.

2.2.5. Λ α γ α ν ἄ σ

Στις ιλυώδεις αργίλους του προφίλ Λαγανά (Ξικ. 3β) προσδιορίστηκαν ναννοαπολιθώματα του Κατώτερου Ήώκαινου που χαρακτηρίζουν τη βιοζώνη NP13 = *Discoaster lodoensis*. Πρόκειται και εδώ για χερσογενείς αποθέσεις στις οποίες έχουν επαναποθετηθεί τα ανωτέρω ναννοαπολιθώματα από το Κατώτερο Ήώκαινο.

2.2.6. Λιμάνι Ζακύνθου

Από το κεραμοποιείο που βρίσκεται στο ΝΔ τμήμα του λόφου πίσω από την πόλη της Ζακύνθου και από το δεξιό μέρος του δρόμου που οδηγεί στο Λαγανά ελήφθησαν τα δείγματα ZA1 έως ZA5 από μαλακές έως ημισυμπαγείς κυανόφαινες μαργαϊκές άργιλους πάχους περίπου 20 μέτρων.

Τα ασβεστολιθικά ναννοαπολιθώματα σπανίζουν και έχουν διατηρηθεί από καλή έως μέτρια κατάσταση. Προσδιορίστηκαν τα εξής είδη:

- Discoaster brouweri* TAN SIN HOK
- * *Helicopontosphaera kampfneri* HAY & MOHLER
- * *Pseudoemiliania lacunosa* (KAMPTNER)
- Scyphosphaera aequatorialis* KAMPTNER

Τα είδη αυτά τοποθετούνται στην NN18 = *Cyclococcicolithina macintyrei* υποβιοζώνη (Ανώτατο Πλειόκαινο).

Από το Κατώτερο Ήώκαινο προέρχονται επαναποθετημένα τα ακόλουθα ναννοαπολιθώματα:

- Discoaster barbadiensis* TAN SIN HOK
- Discoaster deflandrei* BRAMLETTE & RIEDEL
- Discoaster elegans* BRAMLETTE & SULLIVAN
- Discoaster lodoensis* BRAMLETTE & RIEDEL
- Discoaster mirus* DEFLANDRE

	B I O Z O N H	Y P O B I O Z O N H
ΤΕΤΑΡΤΟ-ΓΕΝΕΣ	NN21 <i>Emiliania huxleyi</i> NN20 <i>Gephyrocapsa oceanica</i> NN19 <i>Crenolithus doronicoides</i>	<i>Ceratolithus cristatus</i> <i>Emiliania ovata</i> <i>Gephyrocapsa caribbeanica</i> <i>Emiliania annula</i>
ΠΑΙΟΚΑΙΝΟ	NN18 <i>Discoaster broweri</i>	ZA 1-5 <i>Cyclococcolithina macintyrei</i> <i>Discoaster pentaradiatus</i> <i>Discoaster surculus</i> <i>Discoaster tanalis</i>
ΜΕΙΟΚΑΙΝΟ	NN14 <i>Reticulofenestra pseudoumbilica</i> NN13 <i>Ceratolithus ΛΑΣ1-3 tricorniculatus</i>	<i>Discoaster asymmetricus</i> <i>Sphenolithus neodadies</i> <i>Ceratolithus rugosus</i> <i>Ceratolithus acutus</i> <i>Triquetrorhabdulus rugosus</i>
ΜΕΙΟΚΑΙΝΟ	NN11 <i>Discoaster quinqueramus</i> NN10 <i>Discoaster neohamatus ΑΚ10-15</i> NN9 <i>Discoaster hamatus ΑΚ1-9</i> NN8 <i>Catinaster coalitus</i>	<i>Ceratolithus primus</i> <i>Discoaster bergeronii</i> <i>Discoaster bellus</i> <i>Catinaster calyculus</i> <i>Helicopontosphaera kampfneri</i>
ΜΕΙΟΚΑΙΝΟ	NN7 <i>Discoaster exilis</i> NN6 <i>PO 1-6</i>	<i>Discoaster lugleri</i> <i>Cocco lithus micipelagicus</i>
ΟΛΓΟΚΑΙΝΟ	NN5 <i>Sphenolithus heteromorphus</i> NN4 <i>Helicopontosphaera ampliaperta</i> NN3 <i>Sphenolithus belemnos</i>	
ΟΛΓΟΚΑΙΝΟ	NN2 <i>Triquetrorhabdulus carinatus</i> NN1 <i>NP 25</i>	<i>Discoaster druggii</i> <i>Discoaster deflandrei</i> <i>Cyclicargolithus abisectus</i>
ΟΛΓΟΚΑΙΝΟ	NP24 <i>Sphenolithus distentus</i> NP23 <i>Sphenolithus predistentus</i>	<i>Dictyococcites bisectus</i> <i>Cyclicargolithus floridatus</i>
ΟΛΓΟΚΑΙΝΟ	NP22 <i>Helicopontosphaera reticulata</i> NP21 <i>NP 26</i>	<i>Reticulofenestra hillae</i> <i>Cocco lithus formosus</i> <i>Cocco lithus subdistichus</i> <i>Isthmolithus recurvus</i>
ΟΛΓΟΚΑΙΝΟ	NP18 <i>Discoaster barbadiensis</i> NP17 <i>Reticulofenestra umbilica</i> NP16 <i>NP 18</i>	<i>Chiasmolithus oamaruenensis</i> <i>Discoaster scipionensis</i> <i>Discoaster bifax</i>
ΟΛΓΟΚΑΙΝΟ	NP15 <i>Nannotetra quadrata</i> NP14 <i>NP 19</i>	<i>Cocco lithus stauro</i> <i>Chiasmolithus gigas</i> <i>Discoaster strictus</i> <i>Rhabdosphaera inflata</i> <i>Discoasteroides kuepperi</i>
ΟΛΓΟΚΑΙΝΟ	NP13 <i>Discoaster lodoensis</i> NP12 <i>Tribrachiatus orthostylus</i>	
ΟΛΓΟΚΑΙΝΟ	NP11 <i>Discoaster diastypus</i> NP10 <i>NP 20</i>	<i>Discoaster binodosus</i> <i>Tribrachiatus contortus</i>
ΟΛΓΟΚΑΙΝΟ	NP9 <i>Discoaster multiradiatus</i> NP8 <i>NP 21</i>	<i>Campylosphaera eodela</i> <i>Chiasmolithus bidens</i>
ΟΛΓΟΚΑΙΝΟ	NP7 <i>Discoaster mohleri</i> NP6 <i>NP 22</i>	
ΟΛΓΟΚΑΙΝΟ	NP5 <i>Heliolithus kleinpelli</i> NP4 <i>Fasciculithus tympaniformis</i> NP24 <i>Cruciplacolithus tenuis</i>	

Εικ. 5. Υποδιαίρεση του Τριτογενούς και Τεταρτογενούς σε βιοζώνες και υποβιοζώνες με ασβεστολιθικά ναννοαπολιθώματα σε παγκόσμια κλίμακα (κατά MARTINI 1971, BUKRY: 1978).

**Discoaster multiradiatus BRAMLETTE & RIEDEL
Discoaster trinus STRADNER
Sphenolithus radians DEFLANDRE**

3. Αποτελέσματα

Όπως προκύπτει από την εργασία αυτή τα ερευνηθέντα προφίλ από τους Παξούς και τη Ν. Ζάκυνθο αντιπροσωπεύουν πελαγικά ιζήματα από βιτουμενιώχες, μαργαϊκές και ίλιωδεις άργιλους του Ηώκαινου, Μειόκαινου και Πλειόκαινου της Προαπούλιας ζώνης. Από τη μελέτη των ναννοαπολιθωμάτων τοποθετούνται τα ιζήματα αυτά στις εξής βιοζώνες ή υποβιοζώνες όπως φαίνεται στην εικόνα 5:

- A) Παξοί: Λάκκα: Μέσο Ηώκαινο: NP15 και NP16.
- B) Ν. Ζάκυνθος:
 - 1) Ρομίρι: Κατώτ. Μέσο Μειόκαινο: NN6.
 - 2) Λιμήν Κερί: Μέσο/Ανώτερο Μειόκαινο: NN9/NN10.
 - 3) Μαχαιράδο: Ανώτερο Μειόκαινο: NN10.
 - 4) Λιμανάκι Αγιος Σώστης: Κατώτατο Πλειόκαινο: NN12/NN13.
 - 5) Λιμανάκι Ζακύνθου: Ανώτατο Πλειόκαινο: NN18.

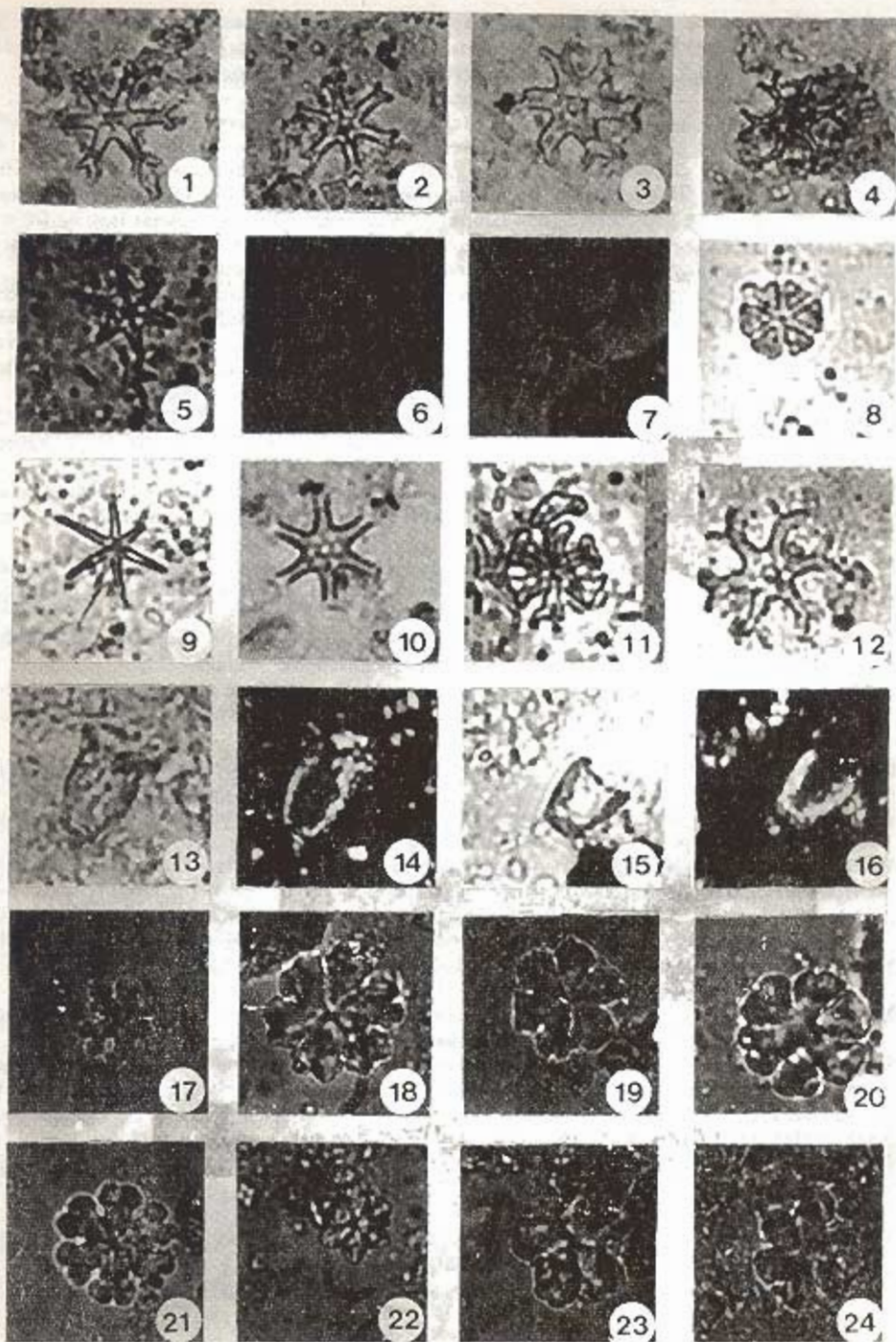
Τα αλλόχθονα ασβεστολιθικά ναννοαπολιθώματα που προσδιορίστηκαν σε Νεογενή ιζήματα προέρχονται από επαναποθέσεις του Κατώτερου Ηώκαινου (βιοζώνες NP12 και NP13).

ΒΙΒΛΙΟΓΡΑΦΙΑ

- AUBOUIN, J. & DERCOURT, J. 1962. — Zone préapulienne, zone ionienne et zone du Gavrovo en Péloponnèse occidentale. — Bull. Soc. Geol. France, 4, No 6, p. 785-794, Paris.
- BIZON, G., FREIBERG, H. & PERRIER, R. 1972. — Etude de trois coupes stratigraphiques dans l' île de Zante (Grèce). — B.E.I.C.I.P., Paris.
- BOUDREAUX, J. M. & HAY, W. M. 1969. — Calcareous Nannoplankton and Biostratigraphy of the Late Pliocene - Pleistocene - Recent Sediments in the Submarex Cores. — Rev. Esp. Micropaleont. Vol. 1, pp. 249-292, 1 Textfig., 10 pl., Madrid.
- BRAMLETTE, M. N. & RIEDEL, W. R. 1954. — Stratigraphic value of discoasters and some other microfossils related to recent coccolithophores. — J. Paleont., Vol. 28, pp. 385-403, pl. 38-39, Tulsa.
- BRAMLETTE, M. N. & SULLIVAN, F. R. 1961. — Coccolithophorids and related nannoplankton of the early Tertiary in California. — Micropaleontology, Vol. 7, pp. 129-188, pl. 1-14, New York.
- BRAMLETTE, M. N. & WILCOXON, J. A. 1967. — Middle Tertiary calcareous nannoplankton of the Cipero section, Trinidad, B.W.I. — Tulane Stud. Geol., Vol. 5, pp. 93-132, pl. 1-10, Tulane.
- BRONNIMANN, P. & STRADNER, H. 1960. — Die Foraminiferen - und Discoasteridenzonen von Kuba und ihre interkontinentale Korrelation. — Erdöl - Z., Vol. 76, S. 364-369, 1 Taf., Hamburg.
- BUKRY, D. 1973(a). — Low - Latitude Coccolith Biostratigraphic Zonation. — In: EDGAR, N. T. - SAUNDERS, J. B. et al., Initial Reports of the Deep Sea Drilling Project, Leg 15, Vol. 15, pp. 685-703, 2 figs., 1 tab., Washington (U.S. - Government Printing Office).
- BUKRY, D. 1973(b). — Phytoplankton stratigraphy, central Pacific ocean. — In: WINTERER, E. A. - EWING, J. L. et al., Initial Reports of the Deep Sea Drilling Project, Leg 17, Vol. 17, pp. 871-890, 4 figs., 5 pl., Washington (U.S. Government Printing Office).

- BUKRY, D. 1974. — Phytoplankton stratigraphy, offshore east Africa. — In: SIMPSON, E. S. W. - SCHLICH, R. et al., *Initial Reports of the Deep Sea Drilling Project*, Leg 25, Vol. 25, pp. 635-646, 4 figs., 1 tab., Washington (U.S. Government Printing Office).
- BUKRY, D. 1975(a). — Phytoplankton stratigraphy, southwest Pacific. — In: ADREWS, J. E. - PARKHAM, G. et al., *Initial Reports of the Deep Drilling Project*, Leg 30, Vol. 30, pp. 539-547, 5 figs., 1 pl., Washington (U.S. Government Printing Office).
- BUKRY, D. 1975(b). — Coccolith and silicoflagellate stratigraphy, northwestern Pacific Ocean. — In: LARSON, R. L. - MOBERLY, R. et al., *Initial Reports of the Deep Sea Drilling Project*, Leg 32, Vol. 32, pp. 677-701, 5 figs., 4 tab., 4 pl., Washington (U.S. Government Printing Office).
- BUKRY, D. 1978. — Biostratigraphy of Cenozoic marine sediment by calcareous nannofossils. — *Micropaleontology*, Vol. 24, no. 1, pp. 44-60, 13 figs., New York.
- CHERCHI, A. & MARTINI, E. 1981. — Calcareous nannoplankton and planktonic foraminiferal of the Messinian and basal Pliocene from Capo San Marco (W. Sardinia). — *Geol. Mediterran. I.G.C.P. Proj.* 96, Tome VII, no 2, pp. 109-120, 2 tab., 2 figs., 2 pl., Paris.
- DERMITZAKIS, M. D. 1977. — Stratigraphy and Sedimentary history of the Miocene of Zakynthos (Ionian islands, Greece). — *Ann. Géol. Pays Hellén.*, 29/1, 47 — 186, Athènes.
- DROOGER, C. W. - MEULENKAMP, J. E. - SCHMIDT, R. R. & ZACHARIASSE, W. J. 1976. — The Paleogene - Neogene Boundary. — *Konink. Ned. Akad. Wet.*, (B), 79 (5), Amsterdam.
- EL - HEINY, I. & MAPTINI, E. 1981. — Miocene foraminiferal and calcareous nannoplankton assemblages from the Gulf of Suez region and correlations. — *Geol. Mediterran., I.G.C.P. - Proj.* 73/1/25, Tome 8, vo 2, 101-108, Paris.
- ÉTUDE GÉOLOGIQUE DE L' ÉPIRE (Grèce nord - occidentale) 1966. — Réalisée par l' Institut de Géologie et Recherches du sous sol, Athènes, et l' Institut Français du Pétrole, Mission Grèce. — Edit. Technip, 1-306, pl. 1-9, fig. 1-10, Paris.
- FARINACCI, A. 1969-1978. — Catalogue of Calcareous nannofossils 1-9. — Instit. di Geologia e Paleontologia - Universita di Roma. *Edizioni Tecnoscienza* - Roma.
- FRYDAS, D. 1979. — Nannoplankton und planktonische Foraminiferen aus dem Alttertiär (Helvetikum) der Bayerischen Alpen und ihres Vorlandes. — *Dissertation*, 158 S, 12 Taf., Univ. München.
- HAY, W. W. - MOHLER, H. P. - ROTH, P. H. - SCHMIDT, R. R. & BUDREAUX, J. E. 1967. — Calcareous nannoplankton zonation of the Cenozoic of the Gulf Coast and Caribbean - Antillean area and transoceanic correlation. — *Trans. Gulf Coast Assoc. Geol. Soc.*, Vol. 17, pp. 428-480, pl. 1-13, San Antonio, Texas.
- MIRKOY, R. M. 1974. — Stratigraphie et Géologie de la partie septentrionale de l' île de Zante (Grèce). — *Ann. Géol. Pays Hellén.*, 26, 35-108, Athènes (cum lit) (in Greek).
- MULDER, DE E. F. J. 1975. — Microfauna and sedimentary - tectonic history of the Oligo - Miocene of the Ionian Islands and Western Epirus (Greece). — *Utrecht Micropal. Bull.*, 13, Utrecht.
- MARTINI, E. 1971. — Standard Tertiary and Quaternary Calcareous Nannoplankton Zonation. — *Proc. II Plankton Conf.*, pp. 739-785, 5 pl., 5 tab., Edizioni Tecnoscienza, Roma.
- MARTINI, E. 1974. — Calcareous nannoplankton from the type Andalusian and some other Neogene areas in Spain. — *Mem. Bur. Rech. Geol. Min.* 78, (1), 421-426.
- STRADNER, H. & FUCHS, R. 1980. — Über Nannoplanktonvorkommen im Sarmatien (Ober-Miozän) der Zentralen Paratethys in Niederösterreich und im Burgenland. — *Beitr. Paläont. Österreich* 7, S. 251-279, 2 Abb., 10 Taf., Wien.
- ΧΡΙΣΤΟΔΟΥΛΟΥ, Γ. 1982. — Στρωματογραφία της Ελλάδας. — 303 σελ. 4 156 Εικ., Πάτρα.

ΠΙΝΑΚΑΣ 1



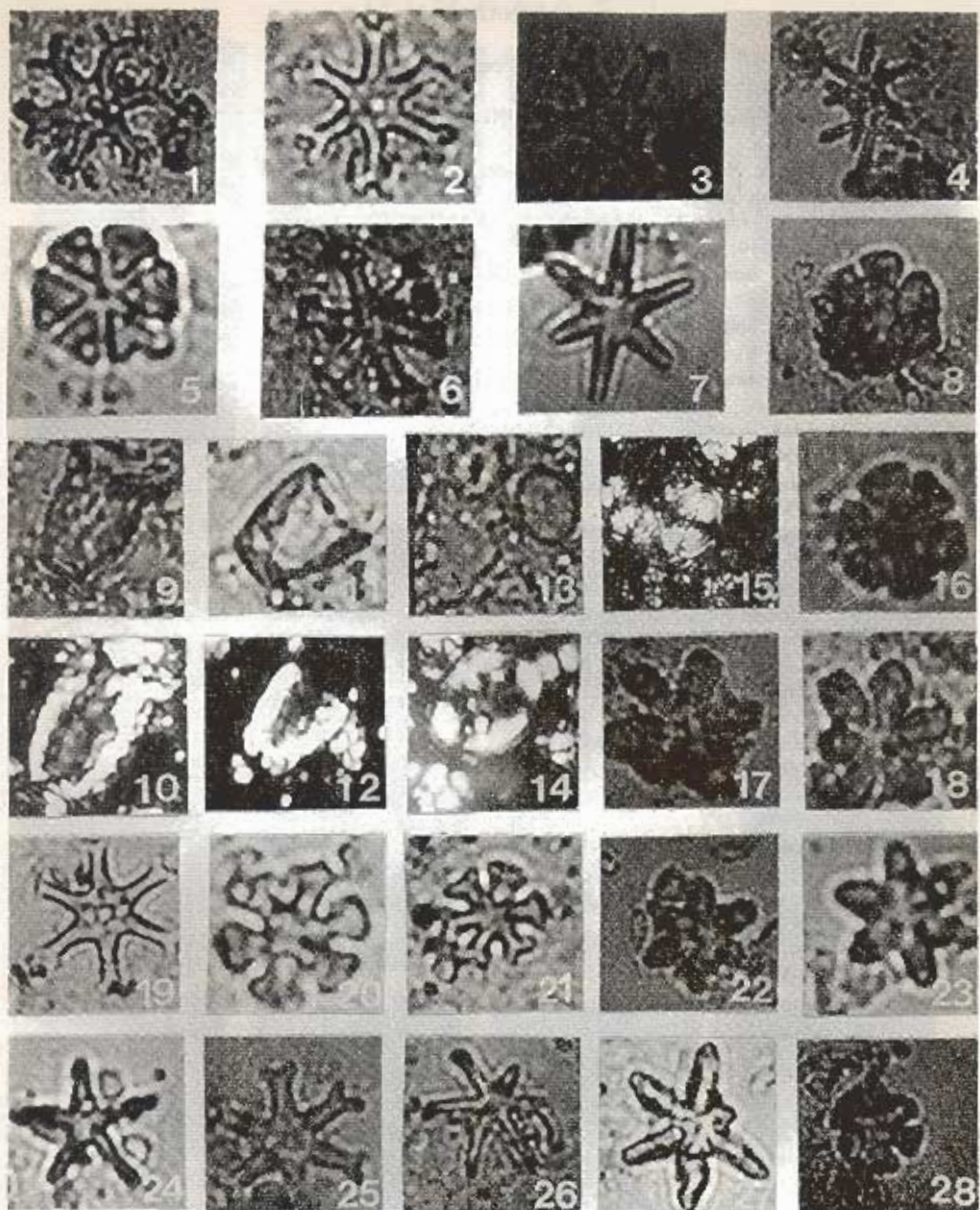
Ψηφιακή Βιβλιοθήκη "Θεόφραστος" - Τμήμα Γεωλογίας. Α.Π.Θ.

ΠΙΝΑΚΑΣ Ι

Μεγέθυνση των φωτογραφιών X 1200

1. *Discoaster pseudovariabilis* MARTINI & WORSLEY
ΔΚ7, ΝΝ9.
- 2, 6, 10. *Discoaster challengerii mediterraneus* CATI & BORSETTI
ΔΚ10 & ΔΚ13, ΝΝ10.
- 3, 12. *Discoaster variabilis* MARTINI & BRAMLETTE
ΔΚ6 & ΔΚ10, ΝΝ9 ΝΝ10.
4. *Discoaster bollii* MARTINI & BRAMLETTE
ΔΚ7, ΝΝ9.
5. *Discoaster stellulus* GARTNER
ΜΑ2, ΝΝ10.
7. *Discoaster brouweri rutellus* GARTNER
ΔΚ5, ΝΝ9.
8. *Catinaster coalitus* MARTINI BRAMLETTE
ΔΚ7, ΝΝ9.
9. *Discoaster calcaris* GARTNER
ΔΚ10, ΝΝ10.
11. *Discoaster divaricatus* HAY
ΔΚ7, ΝΝ9.
- 13, 14. *Scyphosphaera pulcherrima* DEFLANDRE
14: Διασταύρωμένα Nicols, ΔΚ1, ΝΝ9.
15, 16. *Scyphosphaera apsteini* LOHMANN
16: Διασταύρωμένα Nicols, ΔΚ1, ΝΝ9.
17. *Discoaster distinctus* MARTINI
ΠΑ. 4, NP16.
18. *Discoaster gemmifer* STRADNER
ΠΑ1, NP15.
19. *Discoaster colleti* (PAREJAS) BERCIER
ΠΑ5, NP16.
20. *Discoaster trinus* STRADNER
ΠΑ3, NP15.
21. *Discoaster deflandrei* BRAMLETTE & RIEDEL
ΠΑ1, NP15.
22. *Discoaster crassus* MARTINI
ΠΑ4, NP16.
- 23, 24. *Discoaster* sp.
23 ΠΑ.1, NP15 & 24 ΠΑ.5, NP16.

ΠΙΝΑΚΑΣ 2



ΠΙΝΑΚΑΣ 2

Μεγέθυνση των φωτογραφιών X 1500

- 1 Discoaster variabilis MARTINI & BRAMLETTE
ΔΚ10, ΝΝ10
- 2 Discoaster challenger i mediterraneus CATI & BORSETTI
ΔΚ10, ΝΝ10
- 3 Discoaster variabilis MARTINI & BRAMLETTE
ΔΚ6, ΝΝ9
- 4 Discoaster brouweri TAN SIN HOK
ΔΚ10, ΝΝ10
- 5 Catinaster coalitus MARTINI & BRAMLETTE
ΔΚ9, ΝΝ9
- 6 Discoaster dilatus HAY
ΔΚ14, ΝΝ10
- 7 Discoaster brouweri rutellus GARTNER
ΔΚ5, ΝΝ9
- 8 Discoaster calculus BUKRY
ΜΑ2, ΝΝ10
- 9, 10 Scyphosphaera pulcherrima DEFLANDRE
10 × Nicols
ΔΚ1, ΝΝ9
- 11, 12 Scyphosphaera cf. apsteini LOHMANN
12 × Nicols
ΔΚ1, ΝΝ9
- 13, 14 Reticulofenestra hesslandii (HAQ)
14 × Nicols
ΔΚ1, ΝΝ9
- 15 Coccolithus sp.
ΔΚ1, ΝΝ9 × Nicols
- 16 Discoaster lidzii HAY
ΔΚ9, ΝΝ9
- 17 Discoaster druggii BRAMLETTE & WILCOXON
ΜΑ, ΝΝ10
- 18 Discoaster trinidadensis HAY
ΔΚ11, ΝΝ10
- 19 Discoaster challenger i mediterraneus CATI & BORSETTI
ΔΚ13, ΝΝ10
- 20 Discoaster nephados HAY
ΔΚ1, ΝΝ9
- 21 Discoaster panus (BUKRY & PERCIVAL)
ΔΚ1, ΝΝ9
- 22 Discoaster calculus BUKRY
ΜΑ2, ΝΝ10
- 23 Discoaster adamanteus BRAMLETTE & WILCOXON
ΜΑ2, ΝΝ10
- 24 Discoaster quinqueramus GARTNER
ΔΚ9, ΝΝ10
- 25 Discoaster variabilis MARTINI & BRAMLETTE
ΔΚ5, ΝΝ9
- 26 Discoaster brouweri GARTNER
ΔΚ13, ΝΝ10
- 27 Discoaster cf. druggii BRAMLETTE & WILCOXON
ΔΚ3, ΝΝ9
- 28 Discoaster druggii BRAMLETTE & WILOXON
ΜΑ2, ΝΝ10